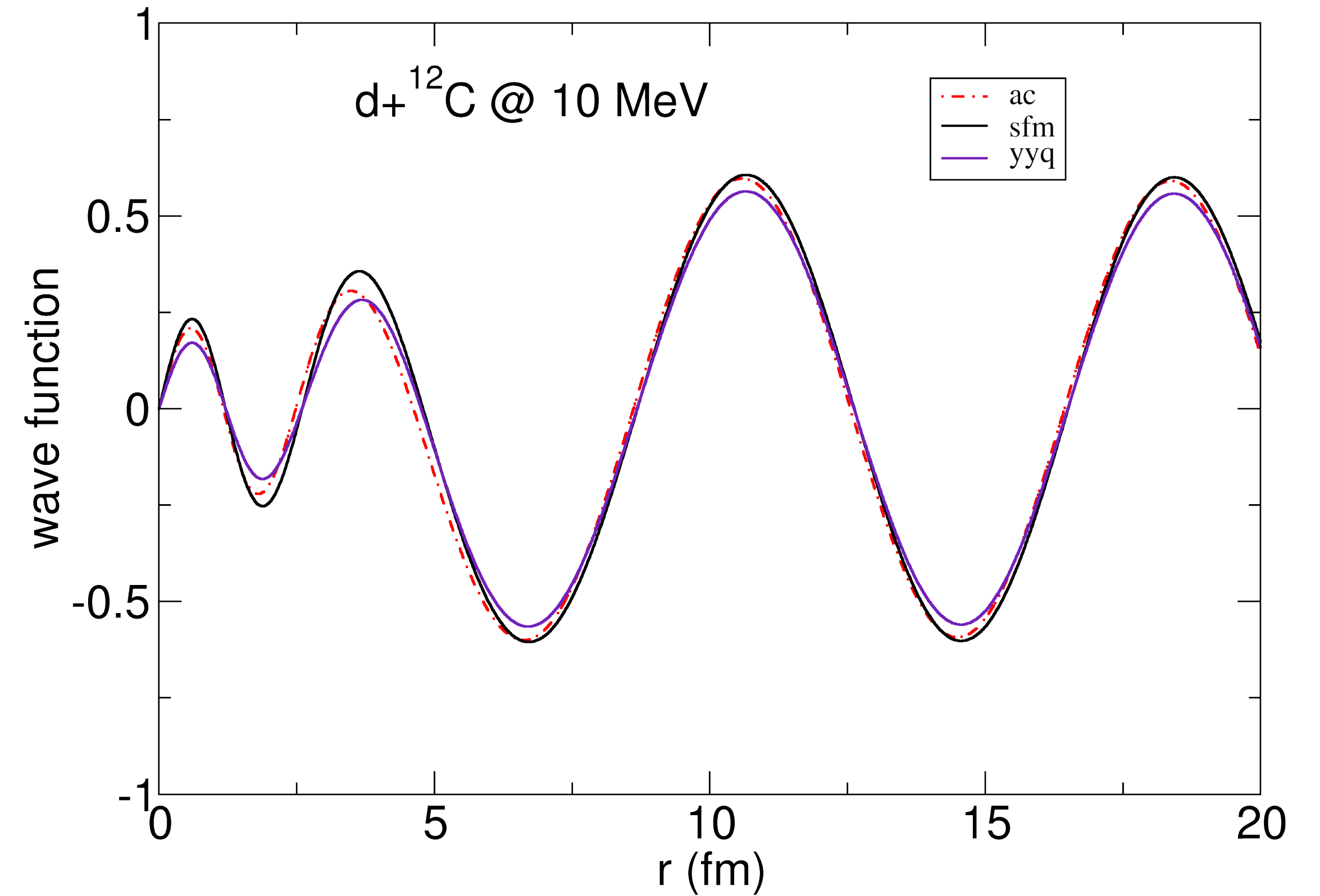
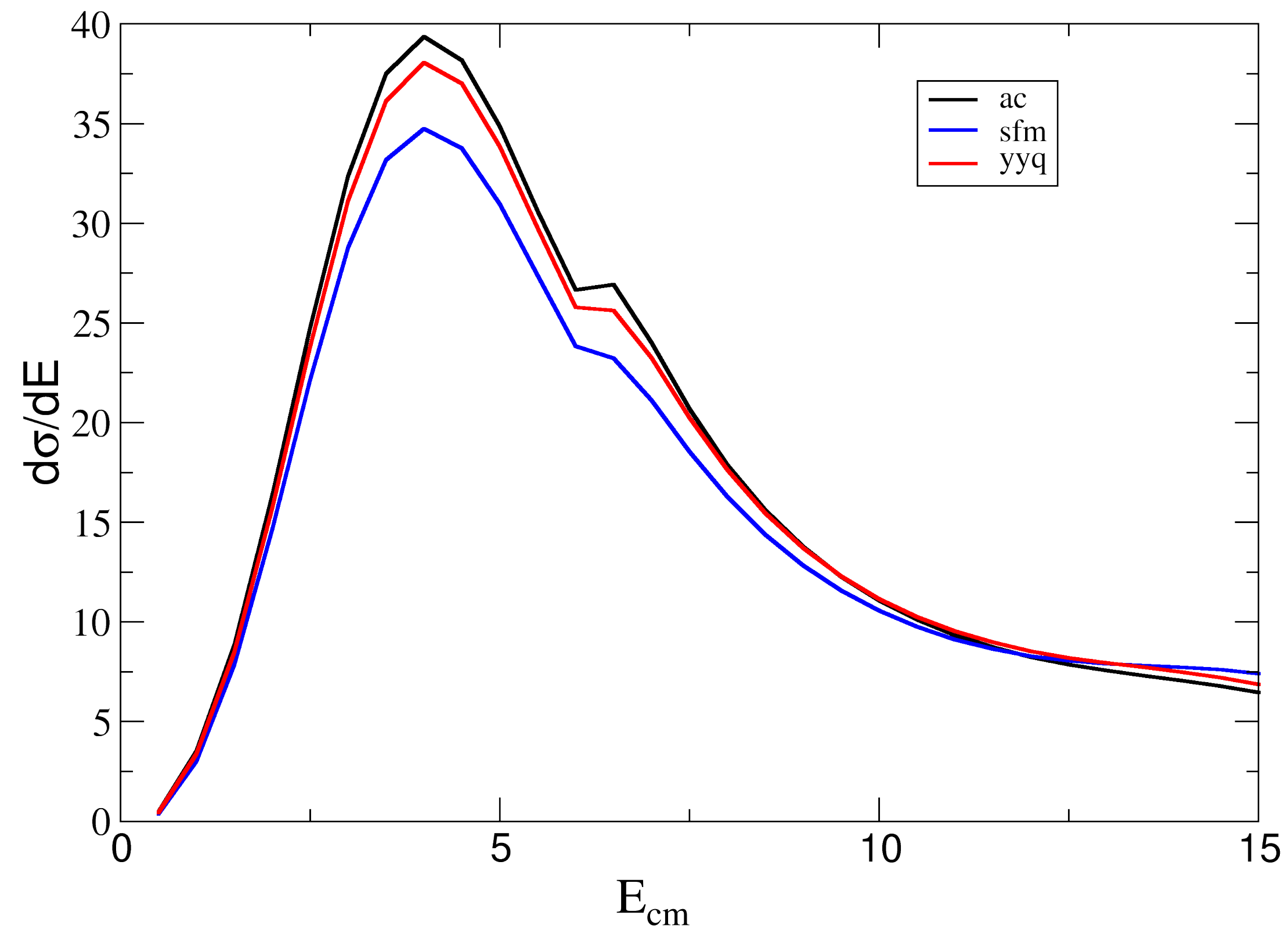


表面近似对破裂反应的影响

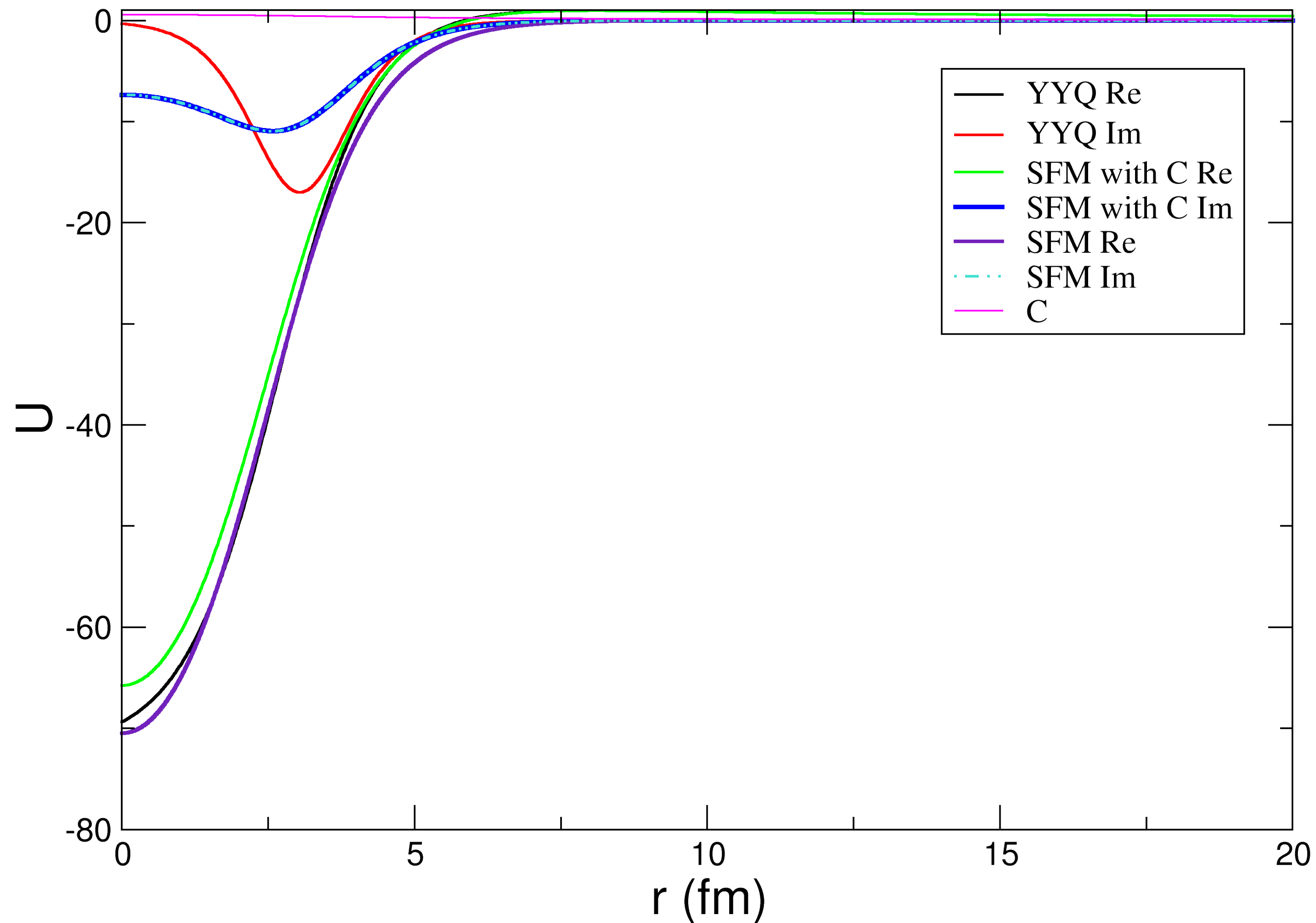
Calculation

尝试计算了 $^{12}\text{C}(\text{d}, \text{pX}) @ 10 \text{ MeV}$ 等系统的去弹性破裂截面，以及弹性散射的波函数



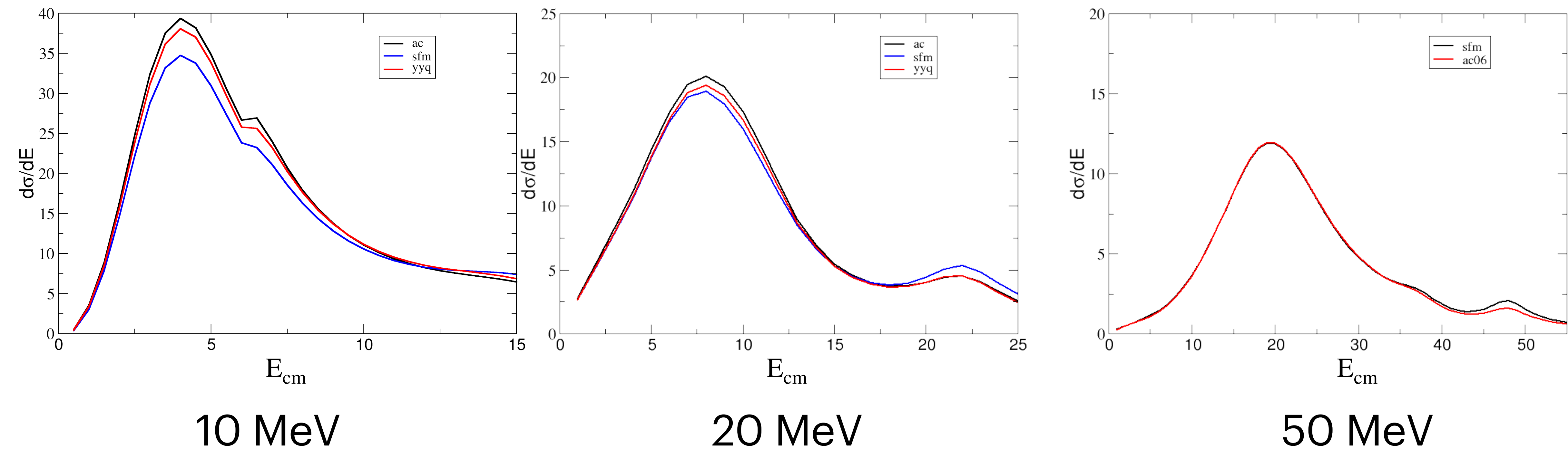
Calculation

尝试计算了 $^{12}\text{C}(d, pX) @ 10 \text{ MeV}$ 等系统, $d + ^{60}\text{Ni}$ 势的形状



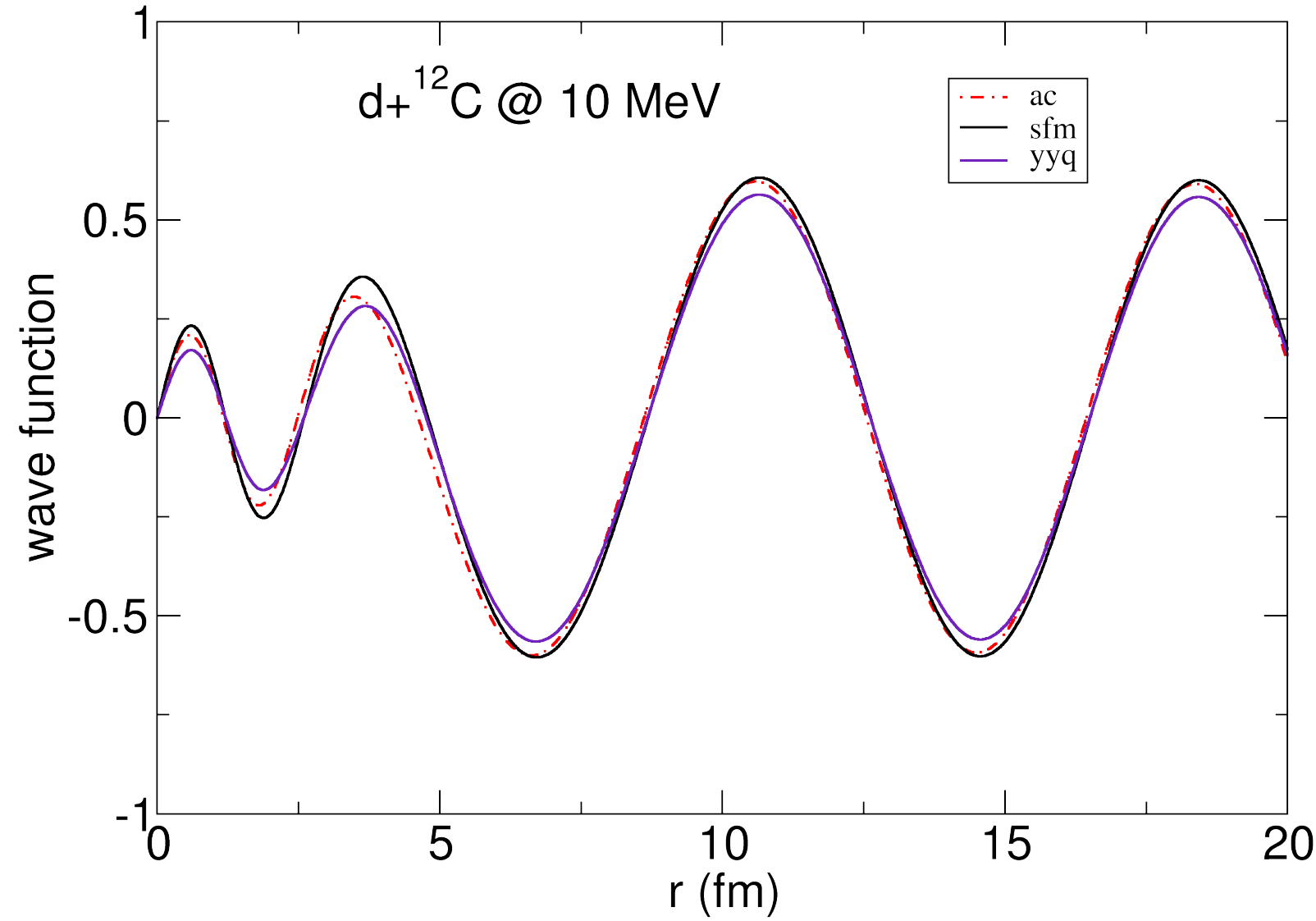
Calculation

$^{12}\text{C}(\text{d}, \text{pX})$ 在不同能量下的截面的情况

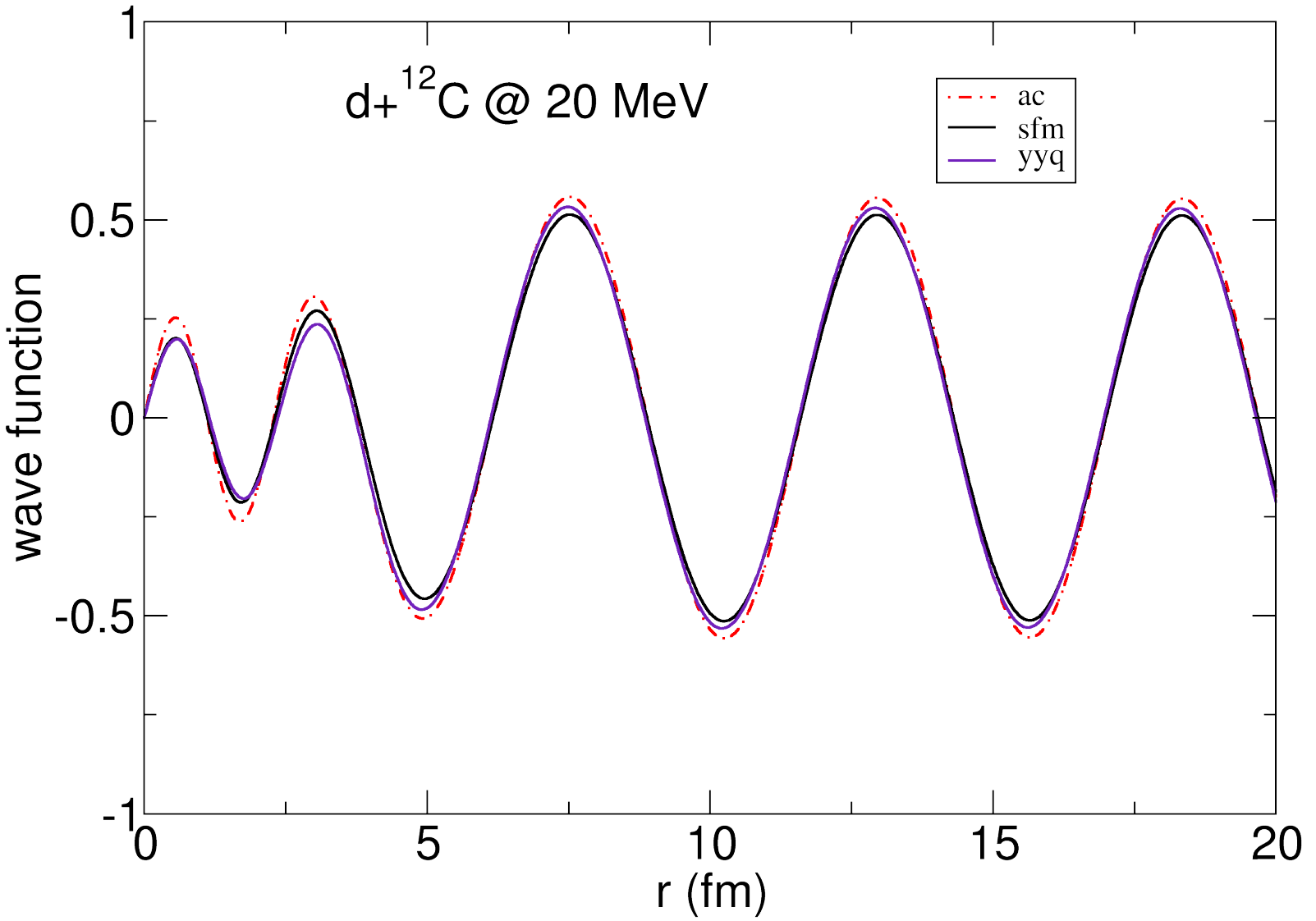


Calculation

$^{12}\text{C}(\text{d}, \text{pX})$ 在不同能量下的截面的情况



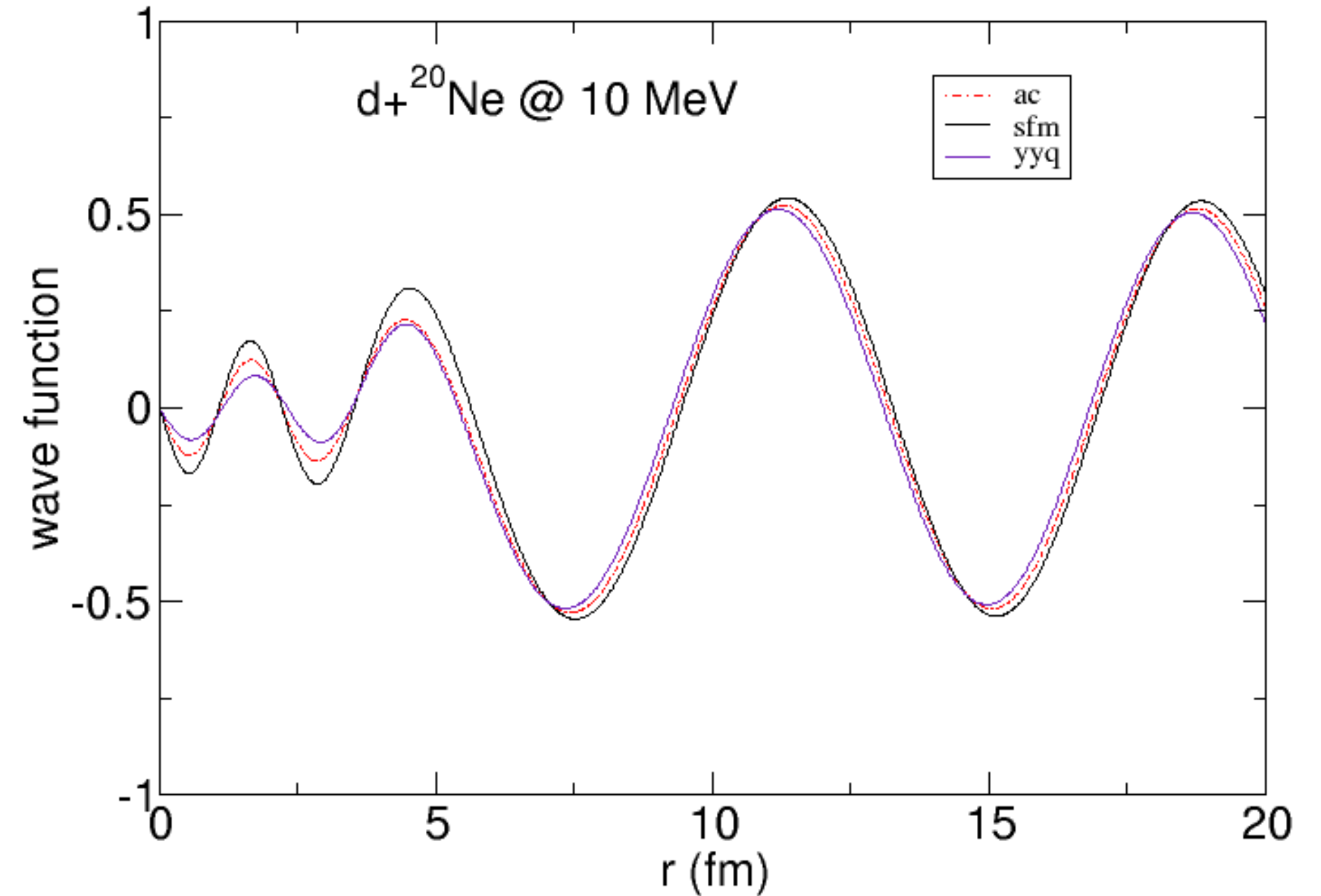
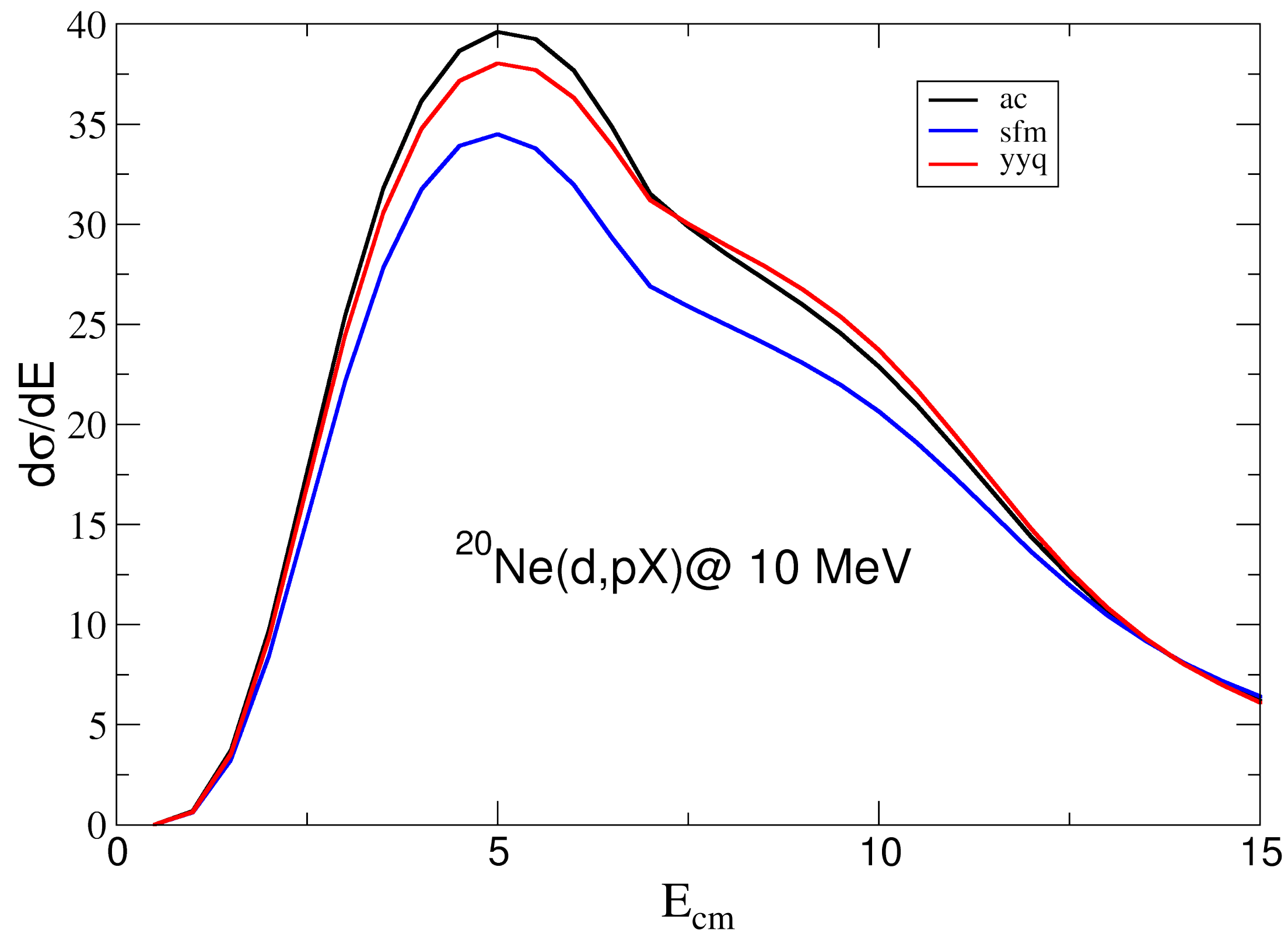
10 MeV



20 MeV

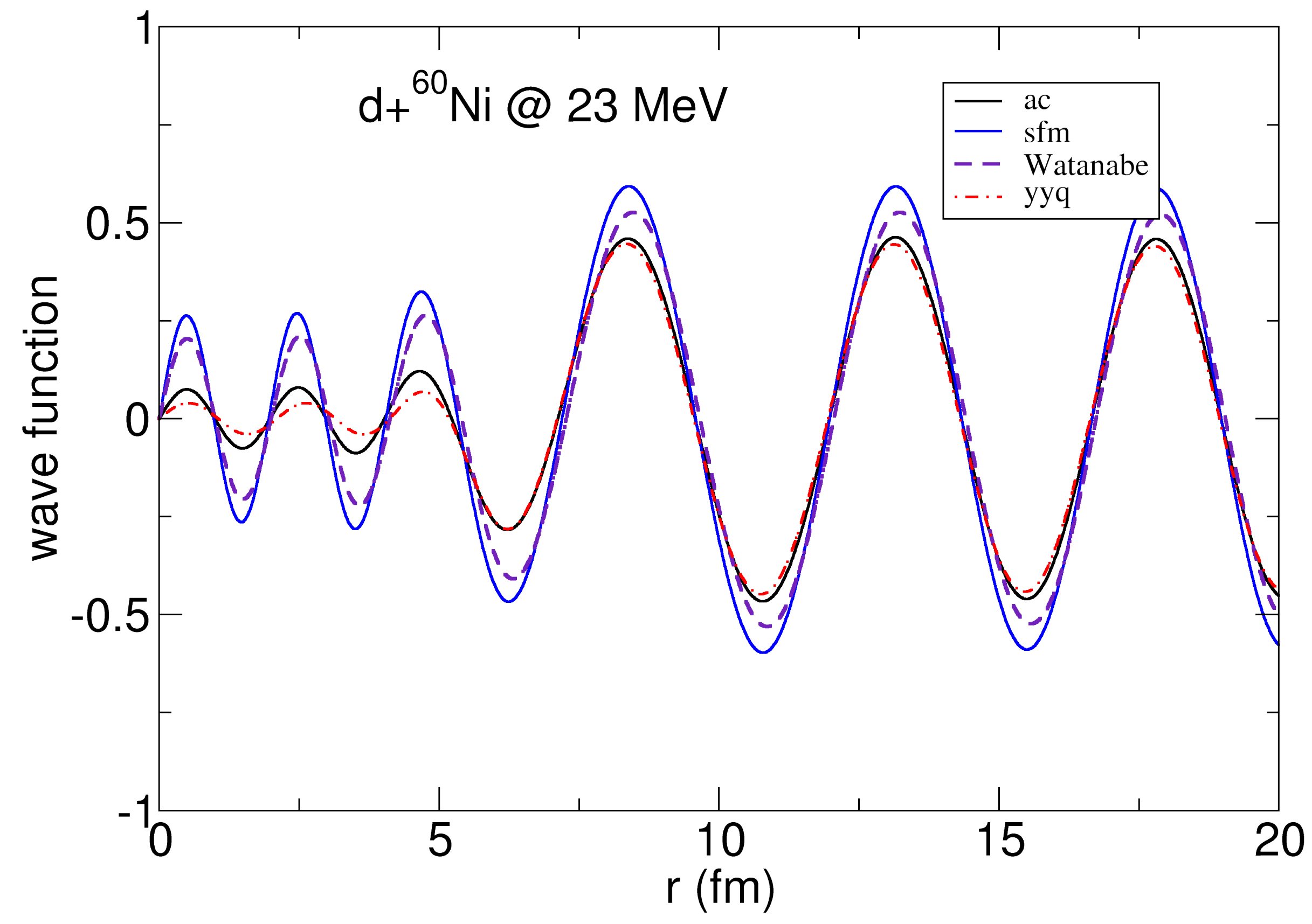
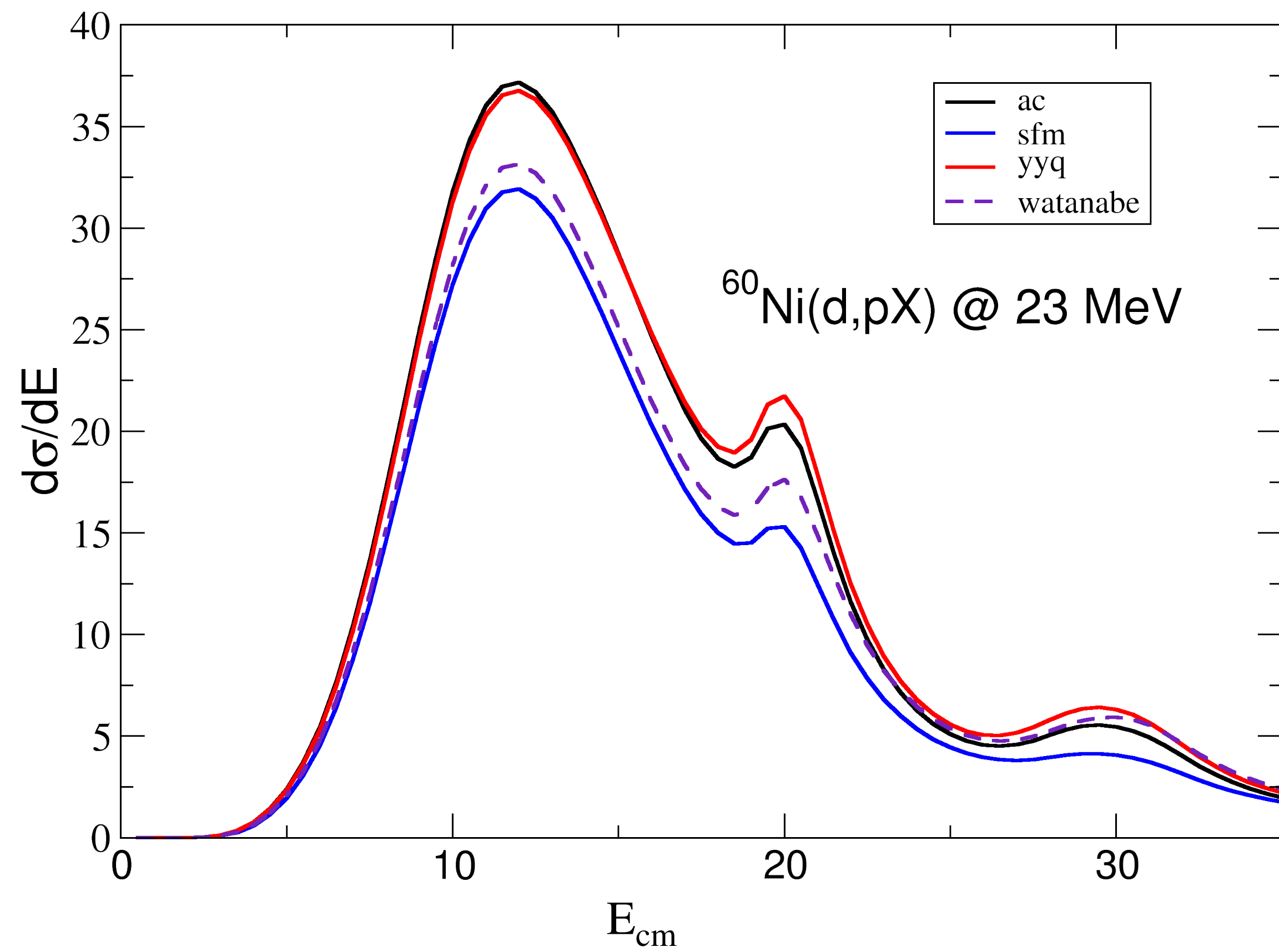
Calculation

尝试计算了 $^{20}\text{Ne}(\text{d}, \text{pX}) @ 10 \text{ MeV}$ 等系统的去弹性破裂截面，以及弹性散射的波函



Calculation

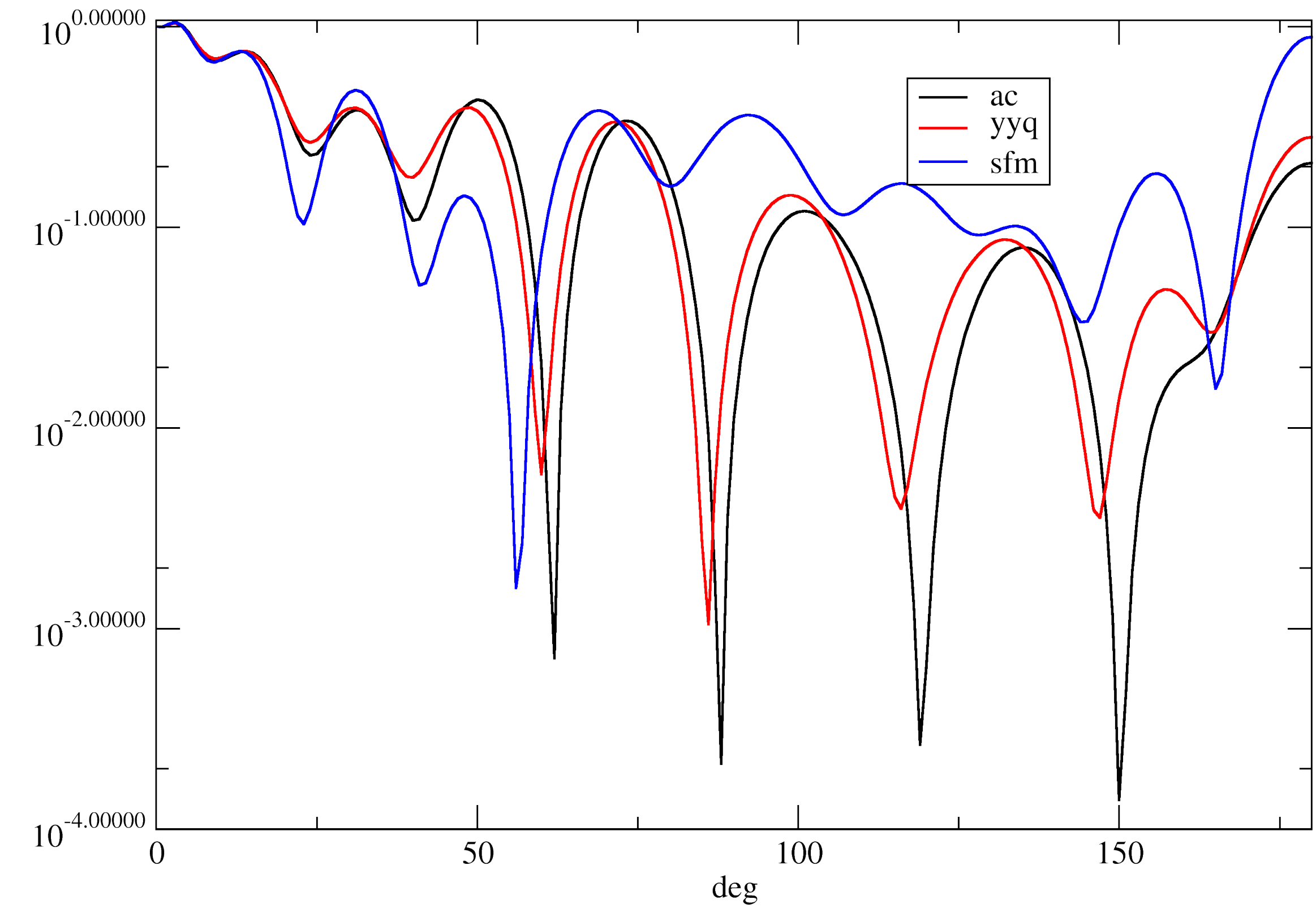
尝试计算了 $^{60}\text{Ni}(d, pX) @ 23 \text{ MeV}$ 的去弹性破裂截面，以及弹性散射的波函数



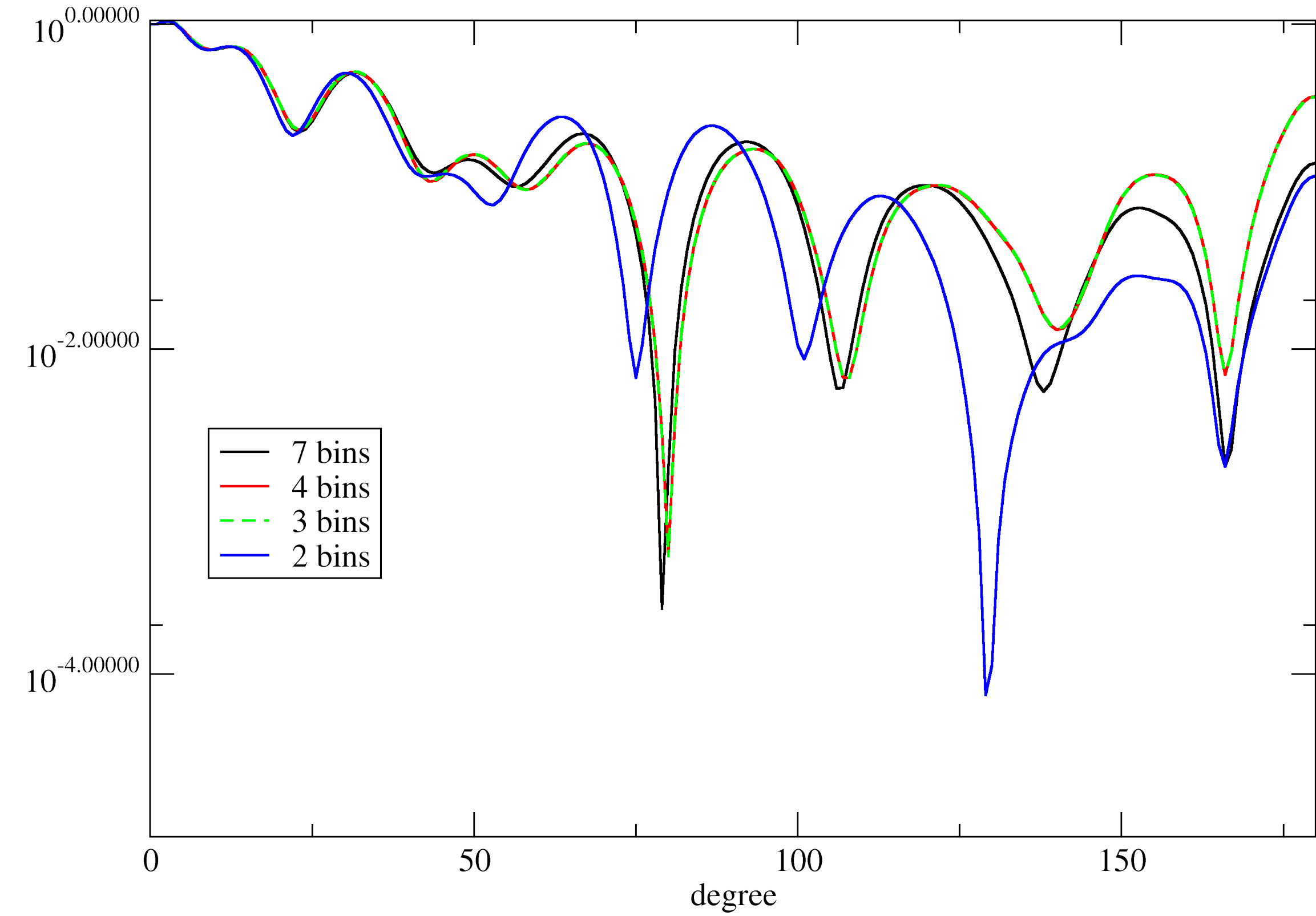
Calculation

Fresco得到的弹性散射截面，与CDCC计算得到的

d+Ni60 Coulomb and Nuclear;



d+ 60ni at Ed=23 CDCC (no spins)



Calculation

Fresco得到的弹性散射截面，与CDCC计算得到的

Bins number	σ_R	$\sigma_{breakup}$
Table 1		
2	1897.7	104.8373208
3	1770.700	71.280943099
4	1770.00	72.3374321
5	1764.000	95.7025265
6	1765.300	97.70155
7	1771.5	124.61052878

